345 セラミックスの耐熱衝撃性試験装置の開発

東邦ガス㈱ 基盤技術研究部 正 〇水谷安伸 新東Vセラックス㈱ 内村勝次 名古屋工業大学名誉教授 高津 學

1. 緒言

セラミックスの耐熱衝撃性試験方法としては、水中 急冷によって試験片に熱衝撃を与え、その後のき裂の 有無から最大急冷温度差Δ Tc を判定する方法が JIS で定められている。しかし,水中投下による急冷法で は,熱伝達係数の値に大きな温度依存性があり,また, 試験結果が試験片の形状や寸法に大きく左右される などの問題点がある。演者らはこれまでに円盤状試験 片を外周から一定熱流束の境界条件で加熱する方法 で熱衝撃抵抗係数R $(=\sigma_f/E\alpha)$ の算出および損 傷の程度が推定できることを示したリック。この一定熱 流東加熱法は熱流東に比例した熱応力が得られ, 急冷 媒体を用いないため熱伝達係数や応力腐食の影響を 受けにくいなどの特長を持っている。今回、3点で拘 東した JIS 形状の強度試験片の一面を一定熱流束加 熱する方法で試験片に過渡的な熱応力を加え,同時に 拘束点に発生する荷重を計測することにより熱衝撃 時の破壊応力をリアルタイムに計測できる試験法を 用いた試験装置を開発したので紹介する。

2. 原理

角柱試験片を上面から一定熱流束で加熱すると、その温度分布により凸状に梁の曲げが生じる。そこで、図1に示すように、梁の曲げを拘束すると、拘束点には荷重(反力)が生じ、試験片の下面には引張応力が発生することになる。そこで、この反力をロードセル

でモニターすれば試験片の破壊応力が推定できる³。 伝熱条件としては上面が一定熱流束加熱,下面および側面は断熱条件であるため,一次元の熱伝導方程式 により温度分布を求めることができる。

試験片高さ方向の温度分布を用いると、 $T=a+b \xi^2+c \xi^n$ の多項式で近似すると、試験片下面の熱応力 σ および拘束点に発生する反力Pは、いずれも熱膨張係数 α 、ヤング率E、試験片寸法を定数として、b、c、n の関数で示される。これらから熱応力と反力の関係($\phi=P/\sigma$)を求めた。 ϕ の値を用いると、実験で得られた反力の値から次式により熱応力の値が推定できる。

$$\sigma = 1 / \phi \times P \times L / \delta I^2$$
 式(1)

3. 開発した試験機の概要

開発した試験機は、3点拘束治具とサーボモーターによる移動テーブル、制御系、計測系、加熱電源を一体化したもので、テーブルの移動、加熱、荷重の計測はすべてシーケンス制御されるため、試験片を治具にセットすれば、(1)試験片の拘束→(2)一定電力で加熱→(3)計測→(4)破壊を検知して停止・復帰までがすべて自動で行われる。また、熱衝撃試験の他にも曲げ強度試験、繰り返し疲労試験など一般的なセラミックスの強度試験機としても用いることができる。

試験機の構成と仕様を図2に示す。

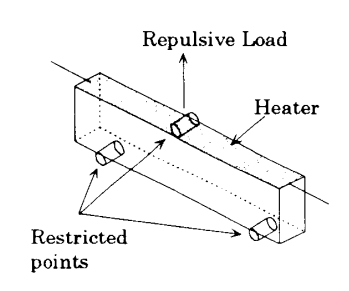
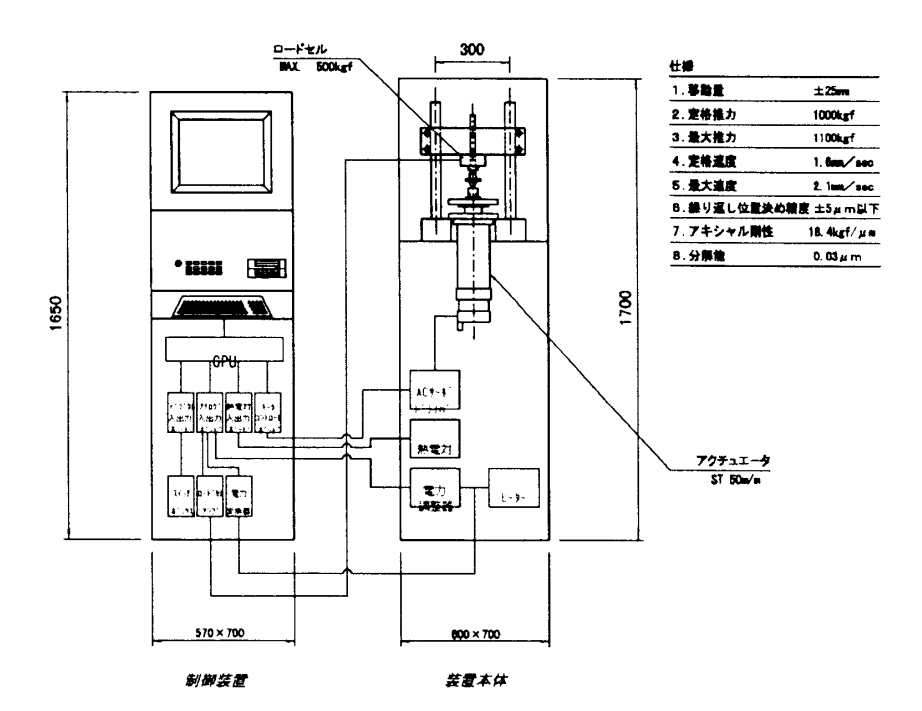


Fig. 1 Schematic diagram of constant heat flux method

Fig.2 Diagram and specifications of testing apparatus.



4. 実測例

開発した試験機を用いて、表1の物性値を持つ99.5%アルミナの耐熱衝撃性を評価した。なお、水中急冷法で求めたところ、この材料の最大急冷温度差 Δ Tc は 200℃であった。試験では、加熱用ヒーターにはルテニウムペーストを850℃で焼付けて用い、ヒーターの加熱電力は200W とした。

Table 1 Properties of tested material

Material	99.5% Alumina	
Density ρ (g/cm³)	3.9	
Young's modulus E(GPa)	400	
Bending strength o 4 (MPa)	450	
Thermal Expansion Coefficient $\alpha (\times 10^{-6} \text{K})$	8	
Thermal conductivity \(\lambda\) (W/mK)	21	
Specific heat Cp(J/KgK)	0.795	

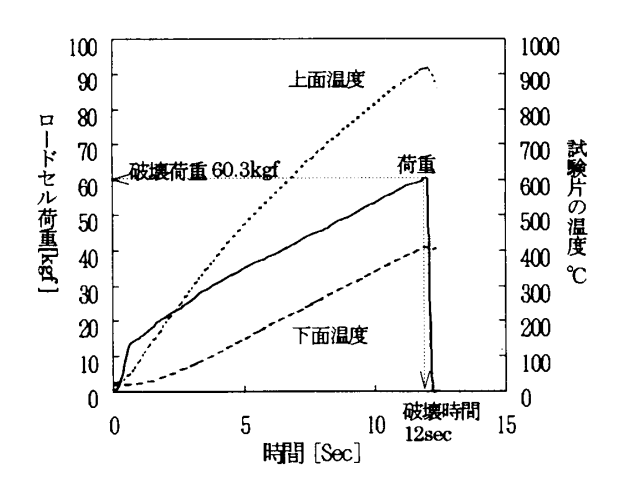


Fig.3 Measured load and temperature profiles during the thermal shock test.

同様にいくつかの試験片について測定し、解析した結果を表 2に示す。アルミナを試験片とした場合にはフーリエ数の値は $2\sim5$ 程度であり、この領域においては、計算パラメータ ϕ の値は $\phi=0.92\sim0.93$ とほぼ定数として取り扱えることがわかった。また、4本の試験片の測定値から、熱衝撃破壊強度の平均値は412MPaであり、4点曲げによる破壊強度 $\sigma=450$ MPaよりも若干低い値を示した。これは曲げ強度試験と熱衝撃試験の熱応力分布(有効体積)や荷重負荷速度が異なることが原因と思われる。

Table2 Result of thermal shock test

Sample	Fractured	Time to	Fourier	Para-	Fratured
No.	Load	Fracture	number	meter	Stress σ
	[kgf]	[sec]	η	ψ	[MPa]
1	60.3	12	5.1	0.92	401
2	59.5	6	2.6	0.93	392
3	60.0	10	4.3	0.92	399
4	68.4	8	3.4	0.92	455
Avg.					412

5. 考察

測定された熱衝撃破壊強度は、熱衝撃環境下における材料の破壊強度を示す数値であり、数値シミュレーション等による熱応力解析を併用すればセラミック部品の設計等で活用できると考えられる。ここでは単純に理解するために耐熱衝撃性を示すパラメータR($=\sigma/E\alpha$)を求めた。 σ に熱衝撃破壊強度、 $\sigma=412MPa$ を用いると、R=130 となる。この値は、熱衝撃の条件にかかわらずここまで材料が耐えられるという最大の急冷温度差であり、部品設計時に最高温度と最低温度の温度差をこれ以下になるように設計すれば部品が熱衝撃により破壊することはない。

また、熱衝撃試験法としては、水中急冷法などの従来法と互換性があることが望まれる。水中急冷における最大急冷温度差は、経験式から、 Δ Tc= $(1.5+3.25/\beta)$ × Rで示すことができる。ここで β (= λ /h/) はビオー数で、実験条件によって異なるが、水中急冷における熱伝達係数は多くの場合、 $h=10^4\sim10^5$ 程 W/m²K 程度度であるので、アルミナの場合には $\beta=5\sim50$ 程度となる。)先に求めたRの値(130C)から $\beta=20$ と仮定して、水中急冷における試験結果を推定すると、 Δ Tc=216Cとなる。この値は試験した材質を水中急冷した結果(Δ Tc=200C)とも良く一致した。

6. 結言

3点で拘束した試験片の一面を一定熱流束加熱する方法により、セラミックスの熱衝撃試験ができる試験装置を開発した。試験の結果、拘束点に発生する反力から試験片の破壊応力が精度良く推定でき、部材設計に活用できる実験データが得られた。また、水中急冷試験法の結果と比較したところ良く一致した。

記号

 σ :応力, σ_f :破壊応力, α :熱膨張係数 E:ヤング率,R(= σ_f / $E\alpha$:熱衝撃抵抗係数,T:温度分布,a, b, c, n:温度分布のパラメータ: $\Delta T c$:最大急冷温度差,P:反力,I:試験片の梁高さ,L:スパン間距離, δ :試験片の幅, $\eta = \kappa$ t/ I^2 :フーリエ数,t:時間,h:熱伝達係数

蒲文

- 1) Journal of the Ceramic Society of Japan, 103[5] 525-528 (1995).
- 2) Journal of the Ceramic Society of Japan, 103[5] 494-499 (1995).
- 3) 材料, 44[498] 362-367 (1995).